片麻痺歩行に対する足関節ロボット治療における 適応者および非適応者の特徴分析

2227005

研究代表者 (助成金受領者) 共同研究者

関西医科大学 大学院医学研究科	博士	課程	桑	原	嵩	幸
関西医科大学 リハビリテーション学部	助	教	森		公	彦
国際電気通信基礎技術研究所 (ATR)	主任研	f究員	野	田	智	之
関西医科大学リカビリテーション医学講座	教	授	長	谷	公	隆

[研究の目的]

脳卒中後片麻痺患者では、下肢の麻痺により 歩行中に十分な推進力(床反力前方成分)を得 ることが困難となることで、歩行速度低下など の歩行障害ひいては生活範囲の狭小化に繋がる ことが報告されている。従って、片麻痺歩行に 対する歩行再建では、麻痺側推進力を最大限高 める治療が重要である。歩行中の足関節をアシ スト出来る足関節ロボットは、麻痺側推進力を 改善させる歩行介入エンジンとして近年注目が 高まっている。

しかし、足関節ロボットによるアシストを加えても麻痺側推進力が十分に改善する症例(Responders)と改善しない症例(Non-Responders)が存在することが報告されている。しかし、従来の研究では、Responders とNon-Responders の特徴の違いを十分に解明した報告はない。従って、全ての患者に効果的な足関節ロボット治療を展開するためには、Responders と Non-Responders の特徴を同定し、さらに治療前に Non-Responders を Responders に近付ける事前介入を行うことにより、ロボットリハビリテーションの効果を最大化できる可能性がある。

本研究では、「足関節ロボットの治療効果を 最大限引き出すためにはアシストだけでなく患 者の準備状態を最適化する必要がある」という アイディアに基づき、足関節ロボット治療にお ける Responders と Non-Responders の歩行の 特徴を人工知能も用いて解明し、ロボット治療 効果を最大化するための事前介入法を構築する ことにより人間と機械の調和を目指すこを目的 としている。

「研究の内容. 成果]

第一研究:足関節ロボット治療における Responders と Non-Responders における歩行特 徴の違いを同定

1. 研究目的

足関節ロボット治療の Responders と Non-Responders における歩行の特徴の違いを教師なし学習によるクラスタリング手法を用いて同定すること。

2. 研究対象者

医師により脳卒中片麻痺と診断された23名 (平均年齢59.7歳)を対象とした。除外基準は、 脳卒中以外に歩行に障害を来すと考えられる疾 患を合併している者や裸足で歩行困難な者とし た。

3. 研究方法

対象者に対して、床反力内蔵トレッドミル (テック技販社製)上にて、空気圧人工筋肉付

き足関節ロボット (ATR 製) (図1) による足関節底屈アシストを対象者ごとに正規化した100% 歩行周期の40-60% (麻痺側下肢が後ろに引けているタイミング) に3分間加え,アシストなし条件およびアシスト条件における麻痺側推進力を計測した。

対象者の平地歩行の特徴は、肩峰、上前腸骨棘、上後腸骨棘、大転子、大腿骨外側上顆、大腿骨内側上顆、外果、内果、第一中足骨、第五中足骨、踵骨に赤外線マーカーを対象者それぞれに貼付し(図 2)、3 次元動作解析装置(アニマ社製)および床反力計(アニマ社製)(図 3)を用いて、平地歩行における関節角度などの運動学的指標および関節モーメントなどの運動力学的指標をそれぞれ算出した。

算出された歩行データの内, 麻痺側推進力と 関連すると臨床上予想される歩行指標として, 歩行中に麻痺側の爪先が離れるタイミング (TO) における股関節伸展角度および膝関節 屈曲角度, 足関節底屈角度を算出した。さらに 麻痺側足関節底屈モーメントを加えた4項目を





図1 足関節ロボットによる歩行練習場面





図2 赤外線マーカー貼付位置

それぞれ抽出した。

データ解析では、対象者においてそれぞれ抽出された歩行指標 4 項目を用いて K-means clustering を実装した。最適なクラスター数は先行研究を参考にシルエット法にて決定した。

統計解析では、両クラスター内における足関節アシストによる麻痺側推進力の変化をWilcoxon 符号付順位検定を用いて検討した。加えて、両クラスター間における、足関節アシストによる麻痺側推進力の変化量およびアシストなし条件における麻痺側推進力、抽出された歩行指標4項目と先行研究において麻痺側推進力と関連すると報告されている Trailing limb angle (TLA) (麻痺側下肢伸展角度) (図 4) との差を Mann-Whitney U 検定を用いて分析した。また各クラスター内において麻痺側推進力の変化量と歩行指標4項目および TLA との関連を Spearman 順位相関係数にて分析した。統計学的有意水準は5%未満とした。







図3 3次元動作解析

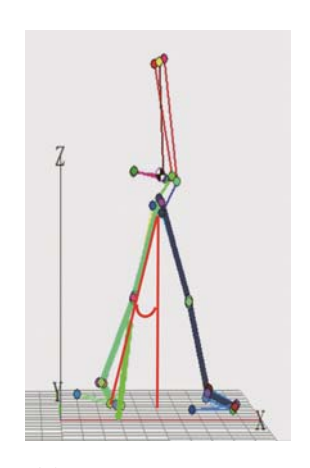


図 4 Trailing limb angle

4. 研究結果

K-means クラスタリングにより対象者は Cluster A (10 例) と Cluster B (13 例) の 2 群 に類型化された。

Cluster A および Cluster B における足関節 アシストによる麻痺側推進力の変化を表 1 に示 す。Cluster A では足関節アシストにより有意 に麻痺側推進力の向上を認めたが、Cluster B では足関節アシストによる麻痺側推進力の有意 な変化は認められなかった。

クラスター間における解析結果を表2に示す。 Cluster B は Cluster A と比べて平地歩行時に おける TO 時の膝関節屈曲角度および足関節 底屈モーメントと TLA が有意に大きかった。 足関節アシストによる麻痺側推進力の変化量お よび足関節アシストなし条件における麻痺側推 進力, TO 時の股関節伸展,足関節底屈角度に 群間差は認められなかった。Cluster A および Cluster B の代表的な患者の平地歩行を図5に 示す。Cluster B の患者では Cluster A の患者 と比べて麻痺側下肢伸展角度が大きい特徴があ

表1 各クラスターにおける麻痺側推進力の変化

Cluster A (N=10)	足関節 アシストなし ¹⁾	足関節 アシスト ¹⁾	P値 ²⁾
麻痺側推進力 (N/BW)	0.54 [0.45, 0.88]	0.75 [0.61, 0.99]	0.027
Cluster B (N=13)			
麻痺側推進力 (N/BW)	0.74 [0.51, 1.20]	0.78 [0.57, 1.34]	0.146

- 1) 中央値 [四分位範囲]
- 2) Wilcoxon 符号付順位検定

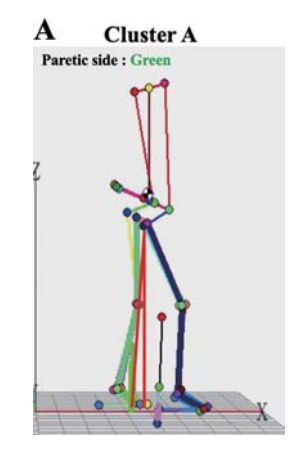




図5 各クラスターにおける歩行の特徴

ることが分かる。

各クラスター内における足関節アシストによる麻痺側推進力の変化量と平地歩行指標との関連性を表3に示す。Cluster A では足関節アシストによる麻痺側推進力の変化量と TO 時の股関節伸展角度および TLA との間に有意な正

表3 クラスターにおける麻痺側推進力の変化量と 関連する歩行指標

Cluster A (N=10)	麻痺側推進力の変化量1)	Ρ値
TO 股関節伸展角度	0.661	0.038
TO 膝関節屈曲角度	-0.042	0.907
TO 足関節底屈角度	-0.333	0.347
足関節底屈モーメント	0.515	0.128
TLA	0.685	0.029
Cluster B (N=13)	麻痺側推進力の変化量1)	Ρ値
Cluster B(N=13) TO 股関節伸展角度	麻痺側推進力の変化量 ¹⁾ 0.264	P値 0.383
	.,,,,,,,,,,,,,,,,,,,,,,,,,,,,,,,,,,,,,,	
TO 股関節伸展角度	0.264	0.383
TO 股関節伸展角度 TO 膝関節屈曲角度	0.264 0.314	0.383
TO 股関節伸展角度 TO 膝関節屈曲角度 TO 足関節底屈角度	0.264 0.314 0.501	0.383 0.297 0.081

¹⁾ Spearman 順位相関係数 (ρ)

表2 クラスターにおける歩行特徴の違い

	Cluster A (N=10) 1)	Cluster B (N=13) 1)	P 値 ²⁾
アシストによる 麻痺側推進力変化量(N/BW)	0.11 [0.07, 0.24]	0.06 [0.01, 0.14]	0.182
アシストなし条件の 麻痺側推進力(N/BW)	0.54 [0.45, 0.88]	0.74 [0.51, 1.20]	0.277
TO 股関節伸展角度(degree)	-6.18 [-11.99, -4.10]	-8.83 [-12.00, -4.16]	0.828
TO 膝関節屈曲角度(degree)	23.70 [15.33, 26.93]	47.37 [40.69, 49.34]	< 0.001
TO 足関節底屈角度(degree)	1.22 [0.20, 9.14]	3.71 [-5.97, 12.47]	0.925
足関節底屈モーメント (Nm/HT*BW)	5.15 [4.17, 5.77]	6.29 [6.09, 6.82]	0.003
TLA (degree)	12.61 [8.10, 16.19]	19.71 [12.78, 22.11]	0.007

¹⁾ 中央値[四分位範囲]

²⁾ Mann-Whitney U 検定

の相関関係を認めた。一方 Cluster B では,足 関節底屈モーメントのみ麻痺側推進力の変化量 との間に有意な正の相関関係を認めた。

5. 考察

足関節アシストによる麻痺側推進力の変化量は、両クラスターで群間差は認めなかったが、Cluster A では足関節アシストにより有意に麻痺側推進力が増加した。一方で、Cluster B では麻痺側推進力に有意な変化は認められなかった。先行研究では、麻痺側推進力の変化における最小可検変化量(MDC)は、0.078 N/BWであると報告されている(Kesar et al, 2011)。Cluster A および Cluster B における足関節アシストによる麻痺側推進力の変化量の中央値は、それぞれ 0.11 N/BW、0.06 N/BW であり、Cluster A のみ MDC を超える変化を認めたことも考慮すると Cluster A の患者群が Responders、Cluster B の患者群が Non-Respondersである可能性が考えられた。

クラスター間の特徴に関する分析では. Non-Responders である Cluster B が Responders である Cluster A よりも平地歩行時におけ るTO時の膝関節屈曲角度および足関節底屈 モーメント、TLA が有意に大きい特徴を示し た。片麻痺歩行における麻痺側 TLA の拡大お よび足関節底屈モーメントの増加は、麻痺側推 進力の改善に貢献する要因であることが報告さ れており (Hsiao et al, 2015), 我々の仮説では, 平地歩行において TLA や足関節底屈モーメン トが大きい患者群ほど足関節アシストが伝達さ れやすいと予想されるため、Responders にな りやすいと考えていた。しかし、Responders の患者において Non-Responders の患者よりも TLA および足関節底屈モーメントが小さいこ とは我々の仮説に反する結果となった。加えて. 我々は Responders の特徴に近付ける事前介入 が足関節ロボット治療効果を最大化する上で重 要であると考えていたが、平地歩行において 推進力が伝達されやすい特徴を持つ Non-Responders を推進力が比較的伝達されにくい

特徴を持つ Responders に近付ける介入は臨床 上現実的ではないと考えた。本研究の各クラス ター内における麻痺側推進力の変化量と関連す る平地歩行指標における解析では、Responders である Cluster A では麻痺側の爪先が離れ るタイミングの股関節伸展角度と TLA が有意 な正の相関関係を、Non-responders である Cluster B では足関節底屈モーメントが有意な 正の相関関係を認めたことから、それぞれのク ラスターにおいて足関節ロボット治療の麻痺側 推進力の増加に寄与する平地歩行の指標は異な る可能性が考えられる。すなわち、足関節アシ ストの効果を最大限高めるためには、単に Non-Responder を Responders に近付ける介入 ではなく、Responders と Non-responders の それぞれに応じた事前介入が重要である可能性 が本研究の結果から新たに示唆された。

本研究の結果より、足関節ロボット治療を最大化させるためには、Responders には歩行時の麻痺側下肢伸展角度を拡大する事前介入が効果的であり、Non-Responders には麻痺側足関節底屈モーメントを増加させ、蹴り出しを改善する事前介入が有効である可能性が推察された。

第二研究:Responders および Non-Responders に対する事前介入が足関節ロボット治療に与える効果

1. 研究目的

第一研究にて Responders 群および Non-Responder 群と同定された対象者それぞれに応じた事前介入が足関節ロボットの効果に与える影響を検証すること。

2. 研究対象者

第一研究にて、Responders である Cluster A と判断された 50 歳代の右片麻痺男性(第一研究における麻痺側推進力の変化: 0.094 N/BW)と Non-Responders である Cluster B と判断された 40 歳代の右片麻痺男性(第一研究における麻痺側推進力の変化: 0.011 N/BW)とした。

3. 研究方法

足関節ロボット治療前の事前介入として. Cluster A の対象者には、高速度でのトレッド ミル歩行練習(図6)により歩行中の麻痺側 TLA を増加させる治療介入を1度行った後. 再度足関節ロボットによるアシストが麻痺側推 進力に与える影響を検討した。Cluster B の対 象者には、麻痺側下肢片脚立位での踵挙げや歩 行中の蹴り出しを意識させ麻痺側足関節底屈 モーメントの向上を目指した歩行練習を週1-2 回の頻度で1ヶ月間行った後、足関節ロボット 治療による効果を再検討した。事前介入による 各歩行指標の変化は、Cluster A の対象者では、 マーカーレス動作分析装置(アニマ社製)を用 いて事前介入前後におけるトレッドミル歩行中 の麻痺側 TLA の変化を評価した。加えて、 Cluster Bの対象者では、第一研究と同様に3 次元動作解析装置を使用し、事前介入前後の平 地歩行における麻痺側足関節底屈モーメントの 変化を分析した。

足関節ロボット治療における計測項目は,第一研究と同様に,歩行中の麻痺側下肢に足関節底屈アシストを 40-60% 歩行周期のタイミングに加え,アシストなし条件および足関節アシスト条件における麻痺側推進力を対象者ごとにそれぞれ算出した。

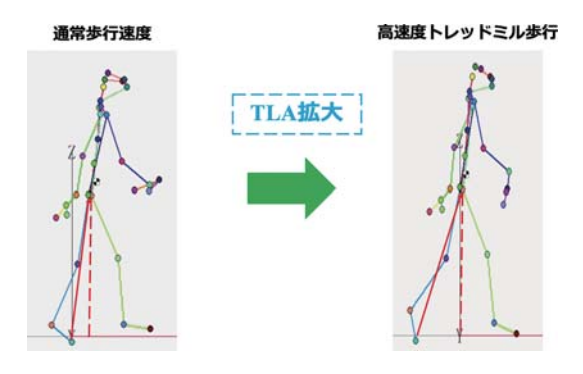


図 6 高速度トレッドミル歩行における麻痺側 TLA の変化

4. 研究結果

Cluster A の対象者

1回の事前介入により対象者の麻痺側 TLA

は 23.0° から 24.2° まで拡大を認めた (図 7)。 また足関節アシストにより麻痺側推進力は、 1.183 N/BW から 1.354 N/BW に増加した (表 4)。

Cluster B の対象者では、1ヶ月間の事前介入により、歩行中の麻痺側足関節底屈モーメントは、5.52 Nm/HT*BW から 6.13 Nm/HT*BW まで増加し(図 8)、足関節アシストにより麻痺側推進力は、0.510 N/BW から 0.638 N/BW に改善を認めた(表 4)。

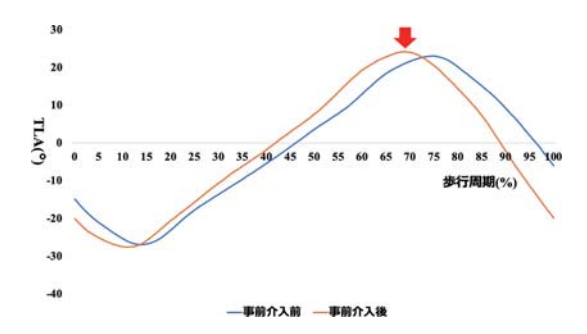


図 7 Cluster A の対象者における事前介入による TLA の 変化

表 4 各対象者における足関節ロボット治療後の麻痺側 推進力の変化

Cluster A の対象者	足関節 アシストなし	足関節 アシスト	変化量
麻痺側推進力 (N/BW)	1.183	1.354	0.171
Cluster B の対象者	足関節 アシストなし	足関節 アシスト	変化量
麻痺側推進力 (N/BW)	0.510	0.638	0.128

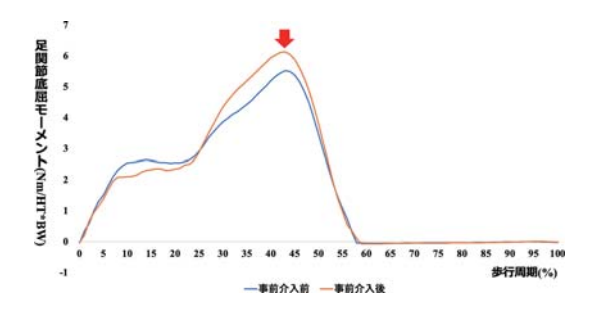


図8 Cluster B の対象者における事前介入による 足関節底屈モーメントの変化

5. 考察

Responders である Cluster A の対象者および Non-Responders である Cluster B の対象者 に対して、それぞれのクラスターの特徴に応じた事前介入を行うことにより足関節アシスト

の効果を更に高めれる可能性があることが本 研究から示唆された。Cluster A の対象者およ び Cluster B の対象者に対する事前介入後の足 関節アシストによる麻痺側推進力の変化は、い ずれも第一研究における麻痺側推進力の変化 よりも大きな向上を示し、MDC である 0.078 N/BW を超える変化を両者共に認めているこ とから、各クラスターの特徴に応じた事前介入 は足関節ロボット治療において重要である可能 性が示唆される。加えて、特に第一研究におい て, Non-Responders であった Cluster B の対 象者が事前介入後のロボット治療では、MDC を越える麻痺側推進力の向上を示したことから. 患者の特徴に応じた足関節アシスト歩行練習前 の事前介入は、Non-Responders の患者を Responders に変化させる可能性があることも推 察された。

麻痺側推進力は、TLAおよび足関節底屈 モーメントで構成され (Hsiao et al, 2015), 脳 卒中患者においてはその貢献率は、TLA が足 関節底屈モーメントの約4倍であることが報告 されている。従って、脳卒中片麻痺患者におけ る麻痺側推進力の伝達には、歩行中の TLA の 拡大を目指すことが重要となる。一方で、歩行 速度の向上に伴う足関節底屈パワーの貢献度は、 歩行機能が高い患者群でのみ高く, 歩行機能が 低い患者群では貢献しないことも報告されてい る(Jonkers et al)。これらから、片麻痺患者 における麻痺側推進力の向上に伴う歩行機能改 善には、歩行機能が低い患者では、TLAの拡 大に着目し、歩行機能の高い患者では、TLA のみならず足関節底屈モーメントの改善を目指 した介入も重要であることが示唆される。本研 究において、Responders である Cluster A の 患者群は、Non-Responders である Cluster B の患者群よりも歩行機能が低い特徴を持つ。 従って、Cluster A においては、TLA の拡大を 目的とした事前介入により足関節アシストが推 進力として伝達されやすかったと考えられる。 一方. 歩行機能が比較的高い Cluster B では.

TLAではなく、足関節底屈モーメントを高める事前介入が麻痺側推進力の改善に効果的であったと推察された。

本研究の結果から、足関節ロボット治療における Responders および Non-Responders の特徴に応じた事前介入によりその後の足関節アシストの効果をより高められる可能性が明らかになった。これらから、足関節アシスト歩行練習では、ロボット治療前の歩行状態を事前に調整することにより、Responders ではより治療効果を高めることができ、Non-Responders では、Responders に変化できる可能性が示唆された。

6. 今後の展望

本研究では、「足関節ロボットの治療効果を最大限引き出すためにはアシストだけでなく患者の準備状態を最適化する必要がある」というアイディアに基づき、第一研究および第二研究を行った。第一研究では、足関節ロボット治療の効果を最大限高めるためには、単にNon-Responders を Responders に近付ける介入ではなく、Responders および Non-Responders のそれぞれの特徴に応じた事前介入が重要であることが示された。また、第二研究では、実際に、Responders および Non-Responders に対する事前介入により足関節アシストの効果をさらに高められる可能性が示唆された。

今後は、さらに被験者数を増やし、Responder および Non-Responders に対する事前介入が足関節ロボット治療に与える効果を検証し、体系的な足関節ロボット治療アルゴリズムの構築を行っていく必要がある。

[成果の発表, 論文など]

- 桑原嵩幸,森公彦,久保鳴峰,間野直人,中條雄太, 野田智之,長谷公隆:片麻痺歩行の麻痺側推進力を 増加させる高速度トレッドミルと併用した足関節ア シスト歩行練習の効果,第59回リハビリテーショ ン医学会学術集会,2022年6月22-25日,横浜
- 桑原嵩幸,森公彦,久保鳴峰,間野直人,中條雄太, 寺前達也,野田智之,長谷公隆:足関節ロボット歩 行練習において麻痺側推進力を増加させる底屈アシ

ストタイミングの検討, 第 20 回日本神経理学療法 学会学術大会, 2022 年 10 月 15-16 日, 大阪

Takayuki Kuwabara, Kimihiko Mori, Takanari Kubo, Naoto Mano, Yuta Chujo, Tatsuya Teramae, Tomoyuki Noda, Kimitaka Hase: Gait characteristics of patients with increased paretic propulsion during ankle-assisted gait training-Analysis using machine learning-, 第 20 回日本神経理学療法学会学術大会, 2022 年 10 月 15-16 日,大阪

桑原嵩幸, 森公彦, 久保鳴峰, 間野直人, 中條雄太,

脇田正徳, 寺前達也, 野田智之, 長谷公隆: 足関節 ロボット歩行練習において麻痺側床反力の特徴を用 いた底屈アシストタイミングの検討, 第48回日本 運動療法学会学術集会, 2023年6月17日, 大阪

桑原嵩幸,森公彦,久保鳴峰,間野直人,中條雄太, 寺前達也,野田智之,長谷公隆:片麻痺歩行の立脚 期後半における制動力が足関節ロボット底屈アシス トのタイミング設定に及ぼす影響,第60回日本リ ハビリテーション医学会学術集会,2023年6月29-7月2日,福岡